

非线性方程组数值解法实现

1 问题

非线性方程组的一般形式为

$$F(x) = 0 \quad (1.1)$$

其中 $F(x) = (f_1(x), \dots, f_n(x))^T$, x 是 n 维实向量, $F_i(x)$ 是 x 的实值函数, 且至少有一个不是线性的, n 是正整数。

2 算法简介

2.1 Newton 法

设 $x^k = (x_1^k, \dots, x_n^k)^T$ 是方程组(1.1)的一个近似解, 将 $F(x) = (f_1(x), \dots, f_n(x))^T$ 在 x^k 处展开可得

$$F(x) \approx F(x^k) + F'(x^k)(x - x^k) = 0 \quad (2.1)$$

其中 $F'(x^k)$ 表示 $F(x)$ 在 x^k 处的 Jacobi 矩阵, 方程(2.1)为方程(1.1)的局部线性化方程, 假定矩阵 $F'(x^k)$ 非奇异, 并设方程(2.1)的解为 x^{k+1} , 则非线性方程组(1.1)求解的 Newton 迭代公式为

$$x^{k+1} = x^k - (F'(x^k))^{-1} F(x^k), \quad k = 0, 1, 2, \dots \quad (2.2)$$

实际计算中采用下列公式避免求 $F'(x^k)$ 的逆:

$$\begin{cases} F'(x^k) \Delta x^k = -F(x^k), \\ x^{k+1} = x^k + \Delta x^k, \end{cases} \quad k = 0, 1, 2, \dots \quad (2.3)$$

2.2 Samaski-Newton 法

由于 Newton 法每迭代一步需要计算 n^2 个分量的偏导数和求一次矩阵的逆, 其计算量是很

大的, 如果将计算出的 $F'(x^0)$ 用于以后的多次迭代, 即令 $F'(x^k) \equiv F'(x^0)$, 这时的迭代公式(2.3) 为

$$x^{k+1} = x^k - (F'(x^0))^{-1} F(x^k), \quad k = 0, 1, 2, \dots \quad (2.4)$$

这个做法大大减少了计算量, 但它以降低收敛速度为代价, 只有线性收敛速度, 一种策略是将 Newton 法与这种迭代结合起来, 即把 m 步简化 Newton 步组成一次 Newton 迭代步, 这就得到如下的迭代公式:

$$\begin{cases} x^{k,0} = x^k, \\ x^{k,i} = x^{k,i-1} - (F'(x^k))^{-1} F(x^{k,i-1}), \quad i = 1, 2, \dots; k = 0, 1, 2, \dots \\ x^{k+1} = x^{k,m}, \end{cases} \quad (2.5)$$

从 x^k 到 x^{k+1} 时用简单 Newton 法迭代 m 次 (实际计算中, 一般只要 2~3 次即可), 此方法又称为 Samaski 技巧, 可以证明这种方法具有 $m+1$ 阶收敛速度。

2.3 Gauss-Newton 法

通常我们也可将非线性方程组(1.1)转化为非线性最小二乘问题

$$\min_{x \in \mathbb{R}^n} \frac{1}{2} \|F(x)\|_2^2 \quad (2.6)$$

来求解, Gauss-Newton 法是求解非线性最小二乘问题的基本方法, 每次迭代把(2.6)转化为线性最小二乘问题:

$$\min_{d \in \mathbb{R}^n} \frac{1}{2} \|F(x^k) + F'(x^k)d\|^2 \quad (2.7)$$

如果 $F'(x^k)^T F'(x^k)$ 非奇异, 则(2.7)的唯一解为 $-(F'(x^k)^T F'(x^k))^{-1} F'(x^k)^T F(x^k)$, 则 Gauss-Newton 法的迭代公式为

$$x^{k+1} = x^k - [F'(x^k)^T F'(x^k)]^{-1} F'(x^k)^T F(x^k) \quad (2.8)$$

如果 Jacobi 矩阵 $F'(x)$ Lipschitz 连续, 且在非线性方程组的解处非奇异, 则 Gauss-Newton 法是二次收敛的。

2.4 Levenberg-Marquardt 法

为了克服 $F'(x^k)^T F'(x^k)$ 奇异或坏条件所带来的困难, Levenberg-Marquardt 法引入了非负参数 λ_k , 每次迭代计算

$$x^{k+1} = x^k - [F'(x^k)^T F'(x^k) + \lambda_k I]^{-1} F'(x^k)^T F(x^k) \quad (2.9)$$

当 Jacobi 矩阵奇异时, 正参数 λ_k 保证了 $F'(x^k)^T F'(x^k) + \lambda_k I$ 非奇异, 从而 LM 法有意义, 如果 Jacobi 矩阵 Lipschitz 连续, 且在非线性方程组的解处非奇异, 适当选取 λ_k , LM 法是二次收敛的。

对于参数 λ_k , 当下降太快, 使用较小的 λ_k , 使之更接近 Gauss-Newton 法, 当下降太慢, 使用较大的 λ_k , 使之更接近梯度下降法, 在本问中选取 $\lambda_k = \|F(x^k)\|$

2.5 牛顿同伦法

在求解非线性方程(1.1)的过程中, 初值 x^0 与方程组的解 x^* 足够接近才能保证迭代序列的收敛, 而在实际应用中很难快速找到这样的初值 x^0 , 这时能够扩大收敛范围的同伦算法是一种很好的选择, 其中数值延拓法首先引进参数 t , 并且构造同伦算子 $H: [0,1] \times D \subset [0,1] \times \mathbb{R}^n \rightarrow \mathbb{R}^n$ 代替原问题, 使当 $t=0$ 时 $H(0, x) = x$ 存在一已知解 x^0 , 使当 $t=1$ 时 $H(1, x) \equiv F(x)$, 若方程

$$H(t, x) = 0, \quad t \in [0,1] \quad (2.10)$$

有解 $x = x(t)$, 则 $x(1)$ 就是方程组(1.1)的解。

首先将区间 $[0,1]$ 等分, 划分为 N 个小区间段 $0=t_0 < t_1 < \dots < t_N = 1$, 此时同伦方程的解在 t_k 处的数值解为 $x^k = x(t_k)$, 用 Newton 法对这一过程求解, 则迭代序列为

$$\begin{cases} x^{k,j+1} = x^{k,j} - [H_x(x^{k,j}, t_k)]^{-1} H(x^{k,j}, t_k), & j = 0, 1, \dots, j_k - 1 \\ x^{1,0} = x^0 = x(0), x^{k,j} = x^k, & k = 0, 1, \dots, N-1. \end{cases} \quad (2.11)$$

又因为目的是求 $t=1$ 时 $x = x(1)$ 的数值, 只需要找到足够近似的解即可, 取 $j_k = 1$:

$$x^{k+1} = x^k - [H_x(x^k, \frac{k}{N})]^{-1} H(x^k, \frac{k}{N}), \quad k = 0, 1, \dots, N-1. \quad (2.12)$$

求出 x^N 后，再结合 Newton 法有

$$x^{k+1} = x^k - [H_x(x^k, 1)]^{-1} H(x^k, 1), \quad k = N, N+1, \dots \quad (2.13)$$

此处选用 Newton 同伦 $H(x, t) = F(x) + (t-1)F(x^0)$ 代入(2.12)和(2.13)得迭代公式：

$$\begin{cases} x^{k+1} = x^k - [F'(x^k)]^{-1} [F(x^k) + (\frac{k}{N}-1)F(x^0)], & k = 0, 1, \dots, N-1 \\ x^{k+1} = x^k - [F'(x^k)]^{-1} F(x^k), & k = N, N+1, \dots \end{cases} \quad (2.14)$$

其中 x^0 可为任意初值。由于 $N \rightarrow \infty$ 时总有通过数值延拓法解 Newton 同伦方程可求得足够接近精确解的初始近似 x^N ，使得后半段 Newton 法收敛，所以(2.14)有大范围收敛性。

2.6 拟 Newton 法

设 $F: \mathbb{R}^n \rightarrow \mathbb{R}^n$ 在开凸集 $D \subset \mathbb{R}^n$ 上连续可微， $F(x)$ 在 x^{k+1} 附近的一次近似为

$$F(x) \approx F(x^{k+1}) + F'(x^{k+1})(x - x^{k+1}) = 0 \quad (2.15)$$

令 $x = x^k, s_k = x^{k+1} - x^k, y_k = F(x^{k+1}) - F(x^k)$ ，则

$$F'(x^{k+1})s_k \approx y_k \quad (2.16)$$

当 $F(x)$ 是线性函数时，关系式(2.16)精确成立，现在我们要在拟 Newton 法中构造 Jacobi 矩阵的近似矩阵 B_{k+1} 满足这种关系，即

$$B_{k+1}s_k = y_k \quad (2.17)$$

(2.17)被称为拟 Newton 条件，它表明矩阵 B_{k+1} 关于点 x^k, x^{k+1} 具有“差商”的性质。

算法实际实现步骤如下：

步 1 给出 $x^0 \in \mathbb{R}^n$ 和 $B_0 \in \mathbb{R}^{n \times n}; k = 0$

步 2 如果 $\|F(x^k)\| < \epsilon$ ，则停机；求解线性方程组

$$B_{k+1}d = -F(x^k) \quad (2.18)$$

得到拟 Newton 步 d_k

步 3 令 $x^{k+1} = x^k + d_k$ ，更新 B_{k+1} 使得(2.8)成立; $k = k + 1$, 转步 2

对 B^k 的更新，我们希望从 B_k 产生 B_{k+1} ，即 $B_{k+1} = B_k + \Delta_k$ ，其中 Δ_k 是一个低秩矩阵。在秩 1 校正情形，有 Broyden 秩 1 校正公式：

$$B_{k+1} = B_k + \frac{(y_k - B_k s_k) s_k^T}{s_k^T s_k} \quad (2.19)$$

在对称问题中，有秩 1 对称拟 Newton 校正公式：

$$B_{k+1} = B_k + \frac{(y_k - B_k s_k)(y_k - B_k s_k)^T}{(y_k - B_k s_k)^T s_k} \quad (2.20)$$

和常用的秩 2 的 BFGS 校正公式：

$$B_{k+1} = B_k - \frac{B_k s_k s_k^T B_k}{s_k^T B_k s_k} + \frac{y_k y_k^T}{y_k^T s_k} \quad (2.21)$$

3 数值实验

3.1 算例 1

$$F(x) = (f_1(x), f_2(x), \dots, f_n(x))^T$$

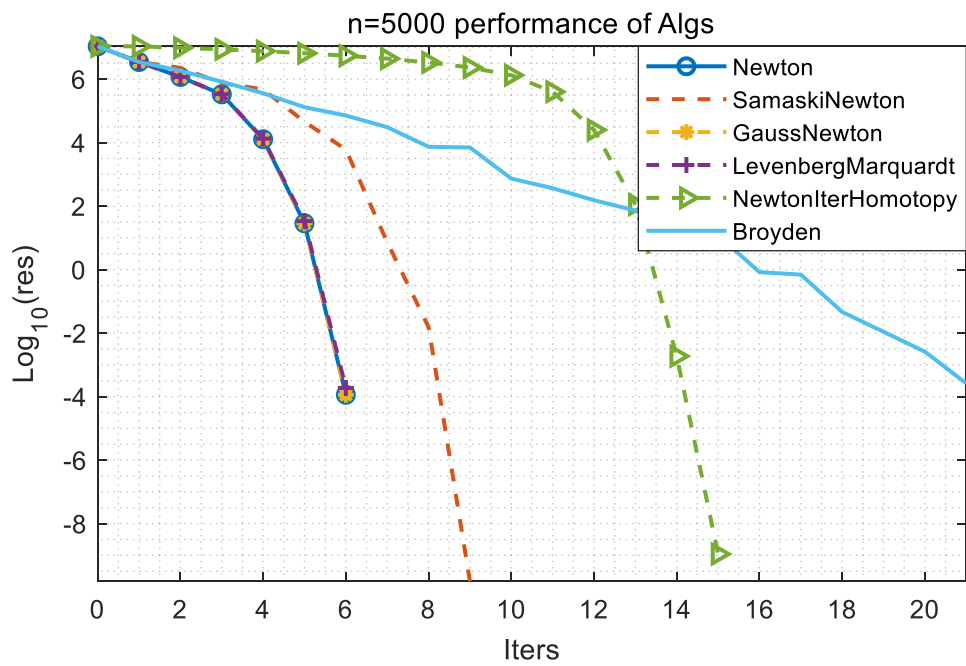
其中

$$f_j(x) = \left(\sum_{i=1}^n x_i^2 + j \right) (x_j - 1) + x_j \sum_{i \neq j} x_i - n + 1, \quad j = 1, 2, \dots, n$$

本测试函数的 Jacobi 矩阵稠密且 $x^* = (1, 1, \dots, 1)^T$ 是其精确解，Jacobi 矩阵在 x^* 附近也是严格对角占优的，这里我们选取初始迭代点 $x_0 = (-3, 3, -3, 3, \dots)^T$ ，计算精度为 $\varepsilon = 10^{-6}$ ，最小迭代步长

$\varepsilon' = \frac{\varepsilon}{10}$ 最大迭代步数 $k = 1000$

方程组 维数 n	Newton		Samaski-Newton		Gauss-Newton	
	迭代次数 k	运行时间/s	迭代次数 k	运行时间/s	迭代次数 k	运行时间/s
100	6	0.008317	9	0.005465	6	0.008772
500	6	0.053977	9	0.056372	6	0.076075
1000	6	0.252276	9	0.229399	6	0.330792
方程组 维数 n	LevenbergMarquardt		牛顿同伦		Broyden	
	迭代次数 k	运行时间/s	迭代次数 k	运行时间/s	迭代次数 k	运行时间/s
100	6	0.008169	14	0.014368	20	0.015601
500	6	0.080956	14	0.103136	20	0.153546
1000	6	0.392836	14	0.514611	20	0.579232



在不同的方程组维数下，各算法均收敛。

3.2 算例 2

$$F(x) = (f_1(x), f_2(x), \dots, f_n(x))^T$$

其中

$$f_1(x) = \sum_{i=1}^n x_i^2 - n$$

$$f_j(x) = (\sum_{i=1}^n x_i^2 + 1)(x_j - 1) + x_j \sum_{i \neq j} x_i - n + 1, \quad j = 2, \dots, n$$

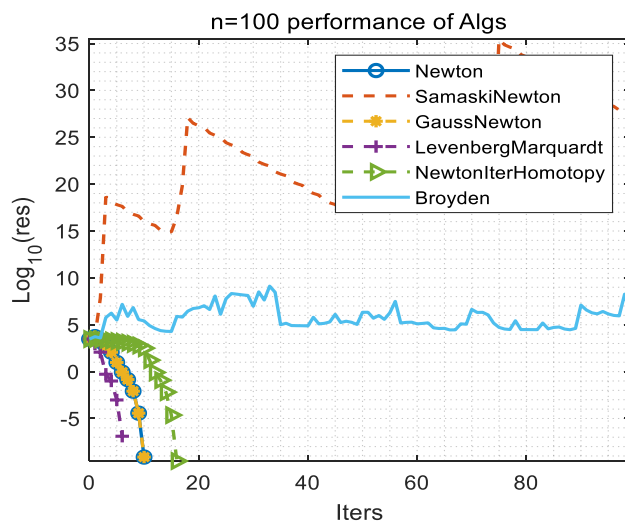
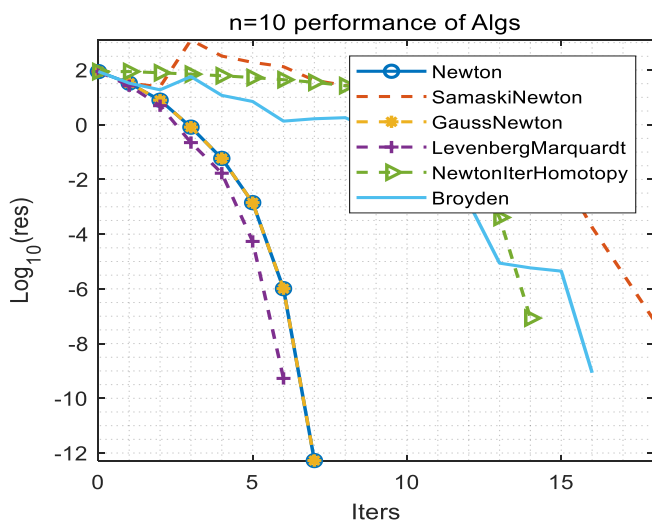
本测试函数的 Jacobi 矩阵稠密且 $x^* = (1, 1, \dots, 1)^T$ 是其精确解, 这里我们分别选取初始迭代点

$x_0 = (0, 2, 0, 2, \dots)^T$ 、 $x_0 = (-10, 5, -10, 5, \dots)^T$, $x_0 = (-10, 30, -10, 30, \dots)^T$, 计算精度为 $\varepsilon = 10^{-6}$, 最小

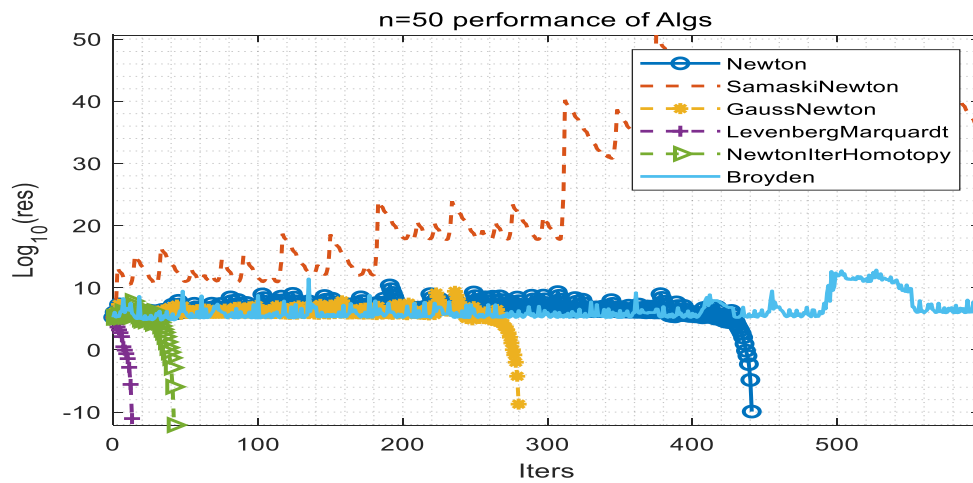
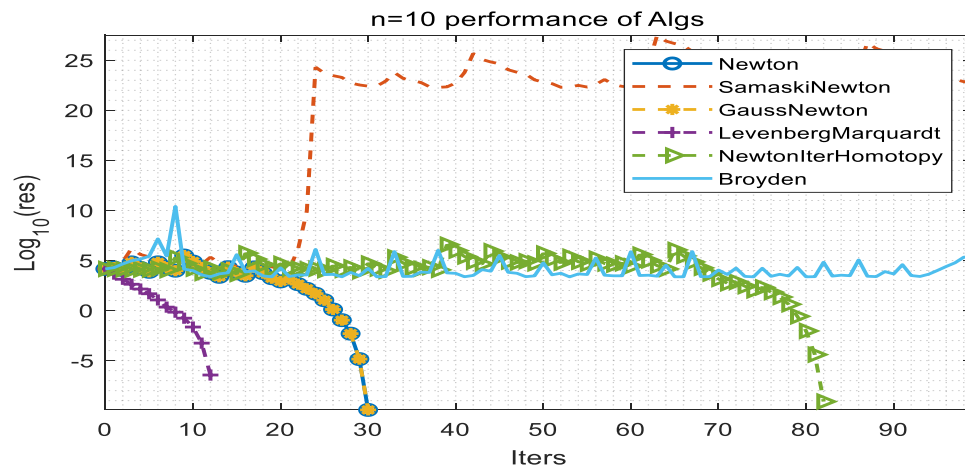
迭代步长 $\varepsilon' = \frac{\varepsilon}{10}$ 最大迭代步数 $k = 1000$

取 $x_0 = (0, 2, 0, 2, \dots)^T$ 时:

方程组 维数 n	Newton		Samaski-Newton		Gauss-Newton	
	迭代次数 k	运行时间/s	迭代次数 k	运行时间/s	迭代次数 k	运行时间/s
10	7	0.055320	18	0.011439	7	0.009887
100	9	0.010643	不收敛		9	0.009550
1000	10	0.009409			10	0.004430
方程组 维数 n	LevenbergMarquardt		牛顿同伦		Broyden	
	迭代次数 k	运行时间/s	迭代次数 k	运行时间/s	迭代次数 k	运行时间/s
10	6	0.010755	14	0.009687	16	0.016495
100	6	0.007106	15	0.007886	不收敛	
200	6	0.004831	16	0.006501		

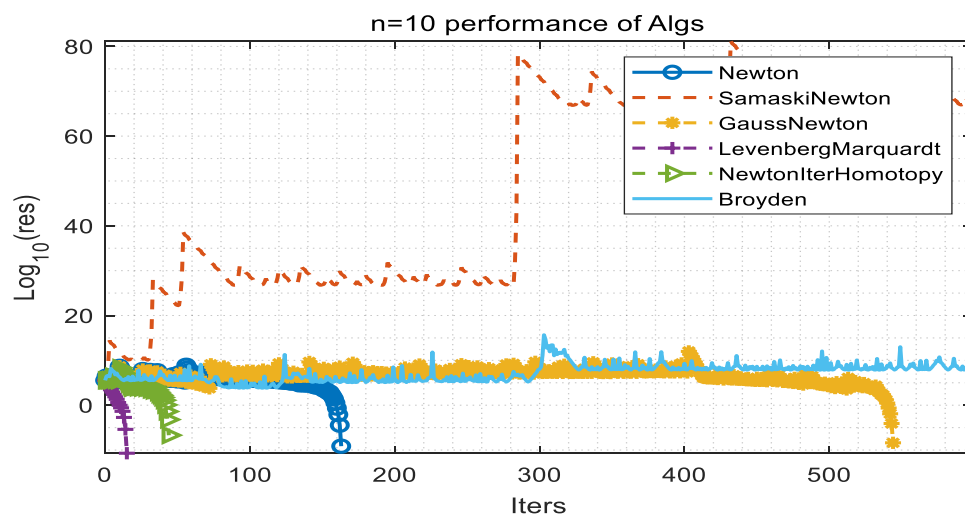


取 $x_0 = (-10, 5, -10, 5, \dots)^T$ 时:



其中 Samaski-Newton 法和 Broyden 法均不收敛，其他算法收敛。

取 $x_0 = (-10, 30, -10, 30, \dots)^T$ 时:



其中 Samaski-Newton 法和 Broyden 法均不收敛，其他算法收敛。

3.3 算例 3: Extended Powell Singular Function

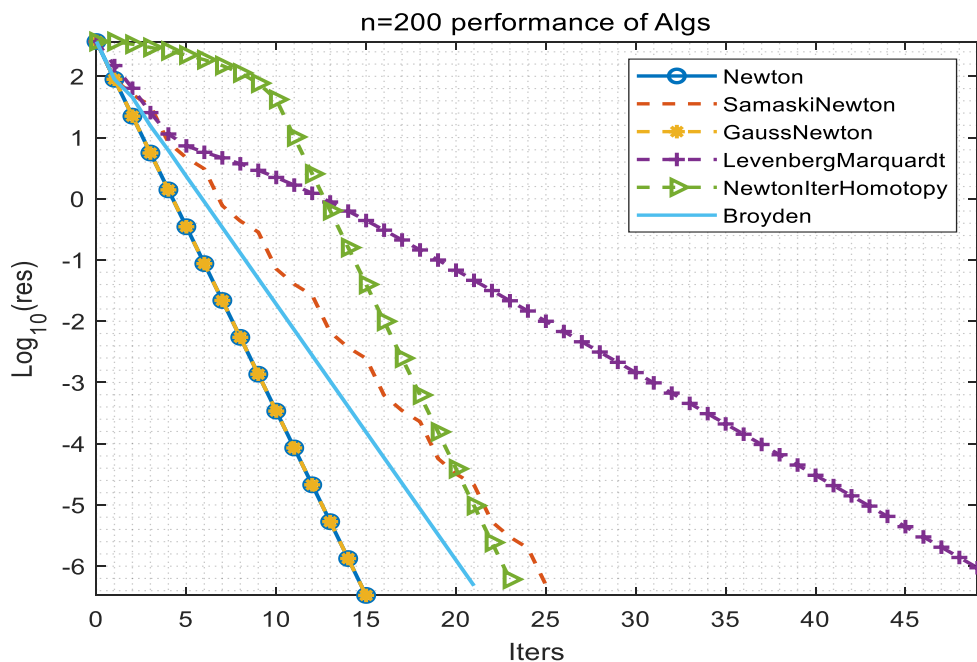
$$F(x) = (f_1(x), f_2(x), \dots, f_n(x))^T$$

其中

$$\begin{cases} f_{4t-3}(x) = x_{4t-3} + 10x_{4t-2}, \\ f_{4t-2}(x) = \sqrt{5}(x_{4t-1} - x_{4t}), \\ f_{4t-1}(x) = (x_{4t-2} - 2x_{4t-1})^2, \\ f_{4t}(x) = \sqrt{10}(x_{4t-3} - x_{4t})^2, \end{cases} \quad t = 1, 2, \dots, \frac{n}{4}$$

本测试函数的精确解 $x^* = (0, 0, \dots, 0)^T$ 且 Jacobi 矩阵在 x^* 附近接近奇异，标准初始点为 $x_0 = (3, -1, 0, 1, 3, -1, 0, 1, \dots, 3, -1, 0, 1)^T$ ，方程组的维数为 4 的倍数。计算精度为 $\varepsilon = 10^{-6}$ ，最小迭代步长 $\varepsilon' = \frac{\varepsilon}{10}$ 最大迭代步数 $k = 1000$

方程组 维数 n	Newton		Samaski-Newton		Gauss-Newton	
	迭代次数 k	运行时间/s	迭代次数 k	运行时间/s	迭代次数 k	运行时间/s
10	14	0.004090	23	0.002101	14	0.002357
100	14	0.124165	25	0.005465	14	0.008772
1000	15	0.279135	26	0.395403	15	0.465401
方程组 维数 n	LevenbergMarquardt		牛顿同伦		Broyden	
	迭代次数 k	运行时间/s	迭代次数 k	运行时间/s	迭代次数 k	运行时间/s
10	20	0.003801	22	0.004089	19	0.003693
100	39	0.008169	23	0.014368	20	0.015601
200	96	3.219584	24	0.386744	22	0.443497



3.4 算例 4: Extended Powell Badly Scaled Function

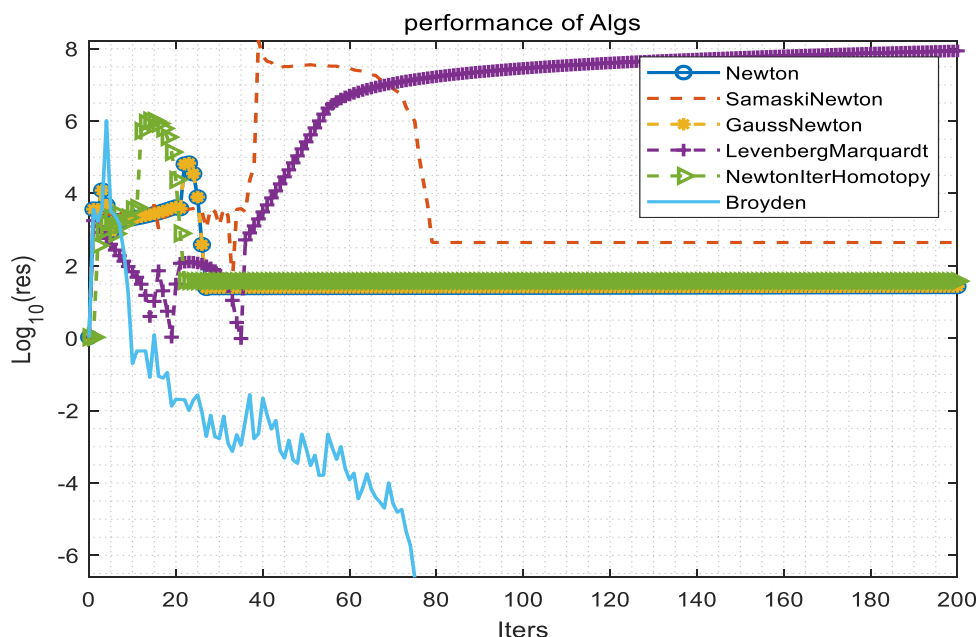
$$F(x) = (f_1(x), f_2(x), \dots, f_n(x))^T$$

其中

$$\begin{cases} f_{2t-1}(x) = 10^4 x_{2t-1} x_{2t} - 1, \\ f_{2t}(x) = e^{-x_{2t-1}} + e^{-x_{2t}} - 1.0001, \end{cases} \quad t = 1, 2, \dots, \frac{n}{2}$$

本测试函数的精确解为 $x^* = (1.098... \times 10^5, 9.106..., \dots, 1.098... \times 10^5, 9.106...)^T$ ，标准初始点 $x_0 = (0, 1, 0, 1, \dots, 0, 1)^T$ ，方程组的维数为 2 的倍数，此问题的 Jacobi 矩阵各特征值相差若干数量级且条件数非常大。计算精度为 $\varepsilon = 10^{-6}$ ，最小迭代步长 $\varepsilon' = \frac{\varepsilon}{10}$ 最大迭代步数 $k = 200$

方程组 维数 n	Broyden		除 Broyden 法外，其余 算法均不收敛
	迭代次数 k	运行时间/s	
2	75	0.003732	
10	151	0.015428	



4 结果分析与发现

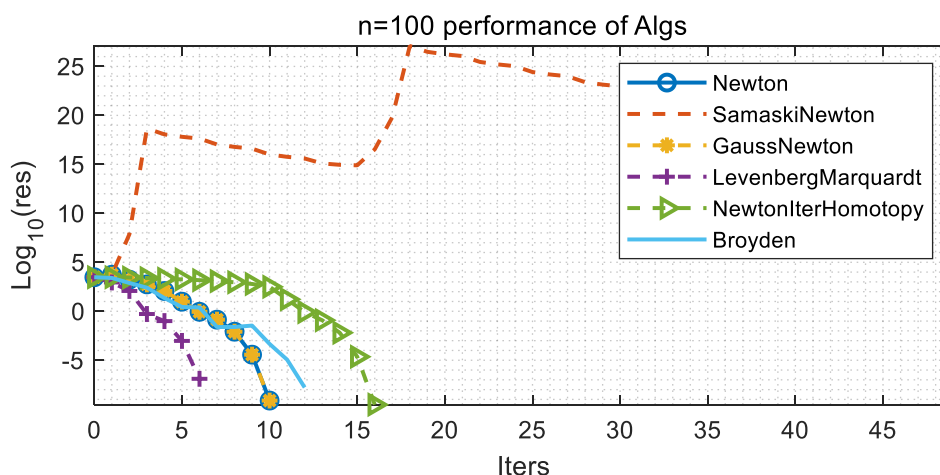
(1) 在使用拟 Newton 法时有以下两点总结：

- ① 使用秩 1 公式更新的算法数值稳定性非常糟糕，在迭代次数比较大时若还没有收敛，结果会越来越差；秩 2 公式 BFGS 和 DFP 较之有较大改善。BFGS 的表现相较于 DFP 要更快一些，BFGS 有自校正的性质，如果某一步 B_k 对原问题的近似比较差，导致迭代变慢，BFGS 会在较少的迭代步数内校正 B_k 。
- ② 拟 Newton 法中 B_0 的选择对于算法的表现影响非常明显， B_0 选得过大会造成前若干步步长太小，收敛速度非常低；选得过小会造成第一步走得太坏，也会增加收敛步数。本次实验中分别尝试了将 Newton 迭代第一步的 Jacobi 矩阵 $F'(x_0)$ 和 $n^\alpha I_n (0 < \alpha < 1)$ 作为 B_0 开始校正，最终前者在实现的便捷性和结果表现上都要优于后者。

(2) 算例 1 的 Jacobi 矩阵稠密且严格对角占优，是一个相当好的问题，原始 Newton 法、GN 法和 LM 法的收敛速度相同，略高于非精确 Newton 法和牛顿同伦法，拟 Newton 法最慢，计算量上非精确 Newton 法要优于原始 Newton 法，由于问题太好 GN 法和 LM

法的特性没有表现出来，运行时间也要长于原始 Newton 法。

- (3) 算例 2 的第一种初值取法下，随着方程组维数上升 Jacobi 矩阵的条件数迅速增加，使得使用了一阶导数信息的几个方法的表现变差，其中非精确 Newton 法和拟 Newton 法不收敛，但经过分析，拟 Newton 法不收敛的主要原因是使用了 $F'(x_0)$ 作为 B_0 使算法第一步变得很糟糕，故其在问题导数信息非常差时能保持有效的特性没有表现出来，改用 $n^\alpha I_n (0 < \alpha < 1)$ 后与理论相符合。



- (4) 算例 2 的后两种初值取法下，LM 法和拟 Newton 法的表现仍然很稳健，主要因为两者克服了 $F'(x)^T F'(x)$ 接近奇异的问题，几乎没有受到影响；牛顿同伦法的表现逐渐优于原始 Newton 法和 GN 法，这是因为牛顿同伦法理论上具有大范围收敛性，对初值的要求不高。
- (5) 算例 3 中主要可见 LM 法在此例中收敛速度不如其他几种算法，主要因为 LM 法的因子 λ_k 的取法造成的，因子的作用与信赖域的思想相似，缺点是降低了速度，若对 λ_k 引入合适的自适应过程会有一定改善，但收敛速度仍然不及 GN 法和原始 Newton 法。
- (6) 算例 4 中主要可见 LM 法和牛顿同伦法也失效了，前者主要原因是所使用的 $\lambda_k = \|F'(x_k)\|$ 在面对各特征值数量级差别很大的 $F'(x_k)$ 时的作用不大；后者只是因为问题太接近奇异或者坏条件而失灵。

5 总结

在 Project 的算例中，课上算法理论上的特点基本上都有所体现，与课上内容和文献介绍大致相符。在算法实现的具体细节上，如 Broyden 法 B_0 的取法和 LM 法 λ_k 的取法上发现了一些文献上没有写清楚的策略，尝试了自己的方法，效果尚可接受。遗憾的是没有构造出能够将原始 Newton 法和 Gauss-Newton 法区分开的算例。